

寫眞測定技法을 利用한 斜面의 傾斜와 走向決定에 관한 理論的 考察

Theoretical Research on Photogrammetric Dip and Strike
Determination of Inclined Surfaces

柳	福	模*
Yeu,	Bock	Mo
朴	雲	龍**
Park,	Un	Yong
楊	寅	台***
Yang,	In	Tae

Abstract

During engineering projects, land use and geologic investigations, topographic information by means of Photointerpretation and Photographic Survey often plays an important role. As some recent methods of Dip and Strike determination were used without considering the characteristics of the geometrical conditions of photography, it is necessary to present an accurate and rapid formula.

In this paper, Dip and Strike determination using photogrammetric method was theoretically approached with geometrical and mathematical models using trigonometric formula and plane equation, respectively.

要 旨

土木設計, 土地利用調査 및 地質調査에 있어서, 寫眞測量과 寫眞判讀에 의한 地形情報은 計劃樹立에 重要한 役割을 한다. 從來에 發表된 傾斜와 走向決定方法들에서는 寫眞의 幾何學의 인 條件에 대한 特性을 정확하게 考慮하지 못하였기 때문에, 이를 補完하는 올바른 公式誘導가 必要하게 되었다.

이에 本 論文에서는 三角法에 의한 幾何學의 인 모델과 平面方程式에 의해 誘導되는 數學的 모델의 두가지 側面에서 理論的으로 考察하므로서, 傾斜진 面의 傾斜와 走向決定에 寫眞測定方法을 利用하는 하나의 技法을 提示하고자 한다.

* 正會員 · 延世大學校 工科大學 土木工學科 教授

** 正會員 · 東亞大學校 工科大學 土木工學科 助教授

*** 正會員 · 江原大學校 工科大學 土木工學科 專任講師

1. 緒論

土木設計 및 計劃에서 設計前後의 地形 및 地質構造를 포함한 地形情報은 計劃樹立에 있어重要한 役割을 한다. Brunton 콤파스나 클리노미터를 使用하는 地質調查方法과 從來의 一般測量方法은 對象地域이 넓고 복잡한 境遇 많은 時間과 經費가 所要되고 있다⁽¹⁾. 넓은 地域에서의 寫眞測定의 經濟性과 正確性은 이미 여러 論文에서 밝혀진 바 있다^(2,3).

資源 및 土地利用調査 등을 위한 寫眞判讀時, 한쌍의 垂直寫眞으로부터 簡單하고 빠른 方法에 의한 傾斜진 地形의 傾斜角測定은 種種 特別한 關心事が 될 수 있다. 특히 地質學에서 成層(Bedding), Fracture, 또는 接觸面(Contact plane)과 같은 構造面(Structural surfaces)의 傾斜와 走向에 대한 正確한 测定은 매우 重要하며, 山岳地形에서의 傾斜度測定은 土地利用과 軍事的인 側面에서 매우 重要한 役割을 한다^(4,5,6).

따라서 野外에서 클리노미터나 콤파스로 簡單히 测定하듯이, 寫眞判讀者가 立體視하는 동안 傾斜까지도 测定할 수 있는 正確하고도 簡單한 方法이 必要하다. 그러나 그동안 發表된 方法에서는 寫眞을 中心投影이 아닌 正射投影으로 考慮하고 誘導하였기 때문에 誤差를 수반하고 있다⁽⁷⁾. 또한 컴퓨터에 입력된 3次元座標로서 路線選定, 地形모델을 만드는 오늘날의 地形解析에 必要한 數學的인 알고리즘 開發이 必要하다.

이에 本 論文에서는 傾斜진 地形에서의 傾斜와 走向決定에 寫眞測定技法을 利用하는 方法에 대한 考察로서, 두가지 側面에서 傾斜와 走向을決定하는 方法을 誘導하려고 한다. 첫번째 方法은 寫眞判讀과 同시에 考慮할 수 있도록 視差公式과 三角法에 基礎를 둔 幾何學의 모델이며, 두번째 方法은 Computer Program 適用을 위한 平面方程式에 의한 數學의 모델이다.

클리노미터나 콤파스는 地形의 表面方向測定에 限定되어 있으나, 寫眞測定方法은 Fracture의 間隔, 層의 두께와 地形의 形狀까지도 测定할 수 있으며, 調査, 判讀 및 計劃樹立에 더 많은 時間을 提供해 줄 수 있다⁽⁸⁾.

2. 地形의 傾斜와 走向決定에 관한 理論解析

2.1. 幾何學의 모델에 의한 方法

2.1.1. 基本公式 및 假定事項

寫眞測定의 基本理論으로서, 寫眞判讀 및 寫眞地質學에서 種種 言及되는 正射投影과 中心投影과의 差異點, 寫眞基線(Photobase)과 視差差를 测定하는 方法에 대한 說明은 本 論文에서省略한다.

寫眞은 中心投影이므로 基準面에 대한 임의의點 K의 起伏에 따른 寫眞上의 變位가 생기며, 그 公式은 다음과 같다.

$$\Delta r = \frac{h_p}{H} r = \frac{h}{f} r \quad (1)$$

여기에서 Δr 은 起伏變位, r 은 寫眞主點으로부터 寫眞上의 K點까지의 距離, h_p 는 K點의 實際높이, h 는 寫眞縮尺으로 환산된 K點의 높이, H 는 摄影高度, f 는 사용된 寫眞機의 焦點距離이다.

K點과 基準面에 내린 垂線의 발 A點 사이의 높이를 計算하기 위한 視差公式은 다음과 같다⁽⁹⁾.

$$h = \frac{f \cdot |Ap|}{b \pm |Ap|} \quad (2)$$

여기에서 $|Ap|$ 는 A와 K點사이의 視差差의絕對값, b 는 A點에 대한 寫眞基線길이이며, + 符號는 K가 A보다 높을 때, - 符號는 A보다 낮게 位置할 境遇에 適用된다.

走向(Strike)은 假想의 水平面과 地表面이 交차하는 直線의 方位로 定義되며, 이 線의 horizontality는 中心投影을 통해 走向의 不變性을 左右한다. 반면에 傾斜角(Dip angle)은 假想의 水平面으로부터 傾斜진 地表面의 最大傾斜線에 대한 高低角으로써, 中心投影에 의해 一般的으로 달라진다.

立體鏡(Stereoscope)으로 뚜바로 내려다 볼 때 立體모델의 中心에 나타나는 傾斜地形의 寫眞像은, 一般的으로 過高感과 中心投影에 의한 두가지 變形에 의해 영향을 받는다. 따라서 立體모델上에서 視覺評價에 기초한 傾斜角決定方法은 이들 變形에 대해 신중히 考慮하여야 한다.

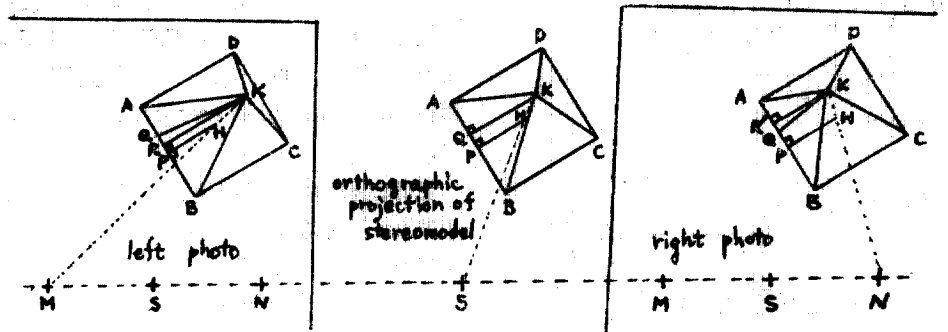


그림 1. Photographic images of a pyramid on a stereopair and corresponding stereoscopic image.

本論文에서는寫眞上에는傾斜(Tilt)가 없는 것으로假定하고,撮影基線은 horizontality를 유지한다고假定하여公式을誘導하였다.

2.1.2. 従來方法에서의誤差分析

既發表된傾斜を決定하는 여러方法^(10, 11, 12, 13)中에서共通的으로 소홀했던 첫번째事項은立體모델上에서의傾斜진面에 대한最大傾斜線이實際의最大傾斜線과一致한다고假定한 것으로이假定은投影의歪曲 때문에 모순이생긴다.

이모순점을具體적으로說明하기위해그림1과같이피라미트의面AKB를考慮하면, K는頂點의像이고, Q는K로부터走向線AB에내린垂線의발이므로, KQ가AKB面에대한假象의最大傾斜線이된다. 그러나實際의最大傾斜線은邊心距離KP이다.

피라미트의높이를傾斜角 $\angle HPK = \alpha$ 에대한垂直距離라하면,走向線AB에따라基準面에대한起伏變位를補正한K의點으로H를나타낼때垂直距離에대응되는水平距離로써HP가된다. 따라서K와Q가같은最大傾斜線上에있다는點이HP 대신에HQ를잘못使用하고있었던理由가된다.

두번째事項은實際의最大傾斜線으로,K로부터走向線AB에垂直으로내린KR 또는KR'를택한事實이다. R과R'는AB線上의 다른두點이며, 左側寫眞에서KR이中心M으로부터放射狀일 때 또는右側寫眞에서KR'가center N으로부터放射狀일 때에만實際最大傾

斜線과一致한다.

세번째事項은寫眞의投影關係를中心投影으로考慮하지않은것으로서, 여기에대해서는(2.1.4)에서具體적으로論하려한다.

2.1.3. 數式的解析方法

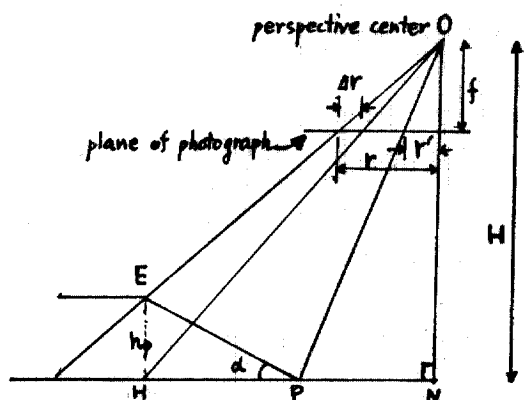


그림 2. Basic geometry of Photograph.

그림2에서傾斜진地形의傾斜角 α 를구하기위해서는우선HP의正確한길이를알아야한다.寫眞上에는나타나있지않는E點에대한垂線의발H는起伏變位를考慮함으로써, 그位置를얻을수있다.

$$HP = HN - PN = (r - dr - r') \frac{H}{f}$$

위식에(1)식을代入하면,

$$HP = \left(r - \frac{h}{H} r - r'\right) \frac{H}{f}$$

가 되며, 여기에 (2)식을 代入하면

$$\begin{aligned} HP &= \left(r - \frac{|4p|}{b+|4p|} r - r' \right) \frac{H}{f} \\ &= \left(\frac{br}{b+|4p|} - r' \right) \frac{H}{f} \end{aligned} \quad (3)$$

이 된다. 따라서

$$\begin{aligned} \tan(\alpha) &= \frac{EH}{HP} = \frac{\frac{|4p|}{b+|4p|} H}{\left(\frac{br}{b+|4p|} - r' \right) \frac{H}{f}} \\ &= \frac{|4p|}{b(r-r')-r'\cdot|4p|} f \end{aligned}$$

가 된다. 여기에서 E 와 P 의 寫眞上에서의 距離 즉 $(r-r')$ 를 d 라 놓으면, 위 식은 다음과 같이 된다.

$$\tan(\alpha) = \frac{|4p|}{bd-r'\cdot|4p|} f \quad (4)$$

따라서 傾斜角 α 는

$$\alpha = \tan^{-1} \left(\frac{|4p|}{bd-r'\cdot|4p|} f \right) \quad (5)$$

가 된다.

식(5)는 P 가 H 와 N 사이에 있을 경우이며, P 가 H 밖에 위치할 경우도 같은 方法으로 誘導된다.

따라서 傾斜角을 구하는 一般公式은

$$\alpha = \tan^{-1} \left(\frac{|4p|}{bd+r'\cdot|4p|} f \right) \quad (6)$$

(여기에서 +符號는 $PN < HN$ 일 때이며, -符號는 $PN > HN$ 일 때이다.)

이 된다.

2.1.4. 圖式的 解析方法

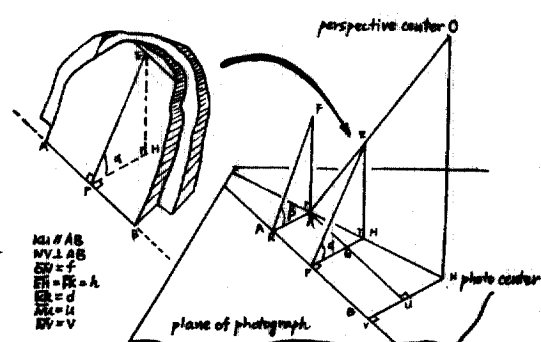


그림 3. Spatial relationships between real angle α of dip of a inclined surface and its corresponding photographic perspective angle β .

그림 3에서 $\angle EPH = \alpha$ 는 實際傾斜角이며, P 點에서 HP 에 直角인 水平線 AB 는 走向이다. 寫眞面에서 K 는 三角形 EPH 의 頂點 E 의 中心 投影된 點을 나타내며, 이 때의 $\angle FRK = \beta$ 를 投影傾斜(photographic perspective dip)이라 부른다.

實際傾斜 α 와 投影傾斜 β 와의 關係를 幾何學的으로 誘導하면, $\triangle KGH$, $\triangle KUN$ 과 $\triangle EHK$, $\triangle ONK$ 의 賦值꼴로부터

$$\frac{GH}{NU} = \frac{HP - KR}{NU} = \frac{EH}{ON}$$

$$\therefore \frac{HP}{EH} = \frac{KR}{EH} + \frac{NU}{ON}$$

가 된다.

$$\cot \alpha = \frac{HP}{EH}, \cot \beta = \frac{KR}{EH} \text{ 이므로 } NU \text{를 } u \text{라}$$

표기하면, 上式은

$$\cot \alpha = \cot \beta + \frac{u}{f}$$

가 된다.

寫眞上에서 $\triangle EHP$ 의 位置와 方向, 또한 頂點 E 의 基準面에 대한 上下位置關係를 고려하여 위式을 다시 쓰면

$$\cot \alpha = \cot \beta \pm \frac{u}{f} \quad (7)$$

가 된다. 여기에서 +符號는 \vec{NU} 方向과 같은 方向에 \vec{KR} 이 있을 때이며, -符號는 \vec{NU} 方向과 반대방향으로 \vec{KR} 이 位置할 경우이다.

$KR = d$ 라 놓고, 視差公式인 (2)式을 $\cot \beta$ 값에 代入하면,

$$\begin{aligned} \cot \alpha &= \frac{d}{|4p|} \frac{f}{f} \pm \frac{u}{f} \\ &= \frac{1}{f} \left(\frac{bd}{|4p|} \pm (d+u) \right) \end{aligned} \quad (8)$$

가 된다. (8)식에서 $(d+u) = v$ 이므로 傾斜角 α 는

$$\alpha = \tan^{-1} \left(\frac{f}{\frac{bd}{|4p|} \pm v} \right) \quad (9)$$

이 된다. 이 式은 數式的으로 유도된 式(6)과 같으며, 두 式 모두 初期에 알아야 할 値은 오직 焦點距離 뿐으로, 그 値은 寫眞의 가장자리에 記錄되어 있다.

(2.2.1.)에서 세번째 誤差事項으로考慮한 中心投影인 寫眞의 投影關係를 正射投影으로 看做하여 β 를 實際의 傾斜角으로 가정했을 때 發生하는 誤差는 (7)式으로부터 알 수 있다.

위에서 誘導된 式은 單寫眞에 대한 公式이지만, β 角이 Stereoscopic perspective angle과 같을 경우 즉 立體모델에서 假想의 角에 생기는 過高感을 補正한 角과 같은 경우와 NU 대신에 그림 1에서 立體모델의 S點으로부터 K點을 통하는 走向線까지의 距離 즉 SH를 使用할 경우에는 立體모델에 대해서도 成立한다.

2.2. 數學的 모델에 의한 方法

2.2.1. 絶對座標 處理方法

한 쌍의 立體寫眞은 각기 寫眞의 光軸이 거의 平行하고 基線에 直交되는 露出點을 가져야만 되는데, 이 경우 데이타處理에는 두가지의 技術的인 方法이 있다⁽¹⁾.

1) 半解析的 方法

여기서는 한 쌍의 立體寫眞이 精密立體圖化機上에서 相互標定을 거쳐 3次元立體모델座標로 測定된다. 다음에 レンズ歪曲收差, 필름伸縮, 扁平度 등을 補正하기 위한 變換方程式은 다음의 觀測方程式을 利用한다.

$$\begin{aligned} X' &= x' + a_1 + a_2x' + a_3y' + a_4x'y' + a_5x'^2 \\ &\quad + a_6y'^2 + a_7x'y'^2 + a_8x'^2y' \\ Y' &= y' + b_1 + b_2x' + b_3y' + b_4x'y' + b_5x'^2 \quad (10) \\ &\quad + b_6y'^2 + b_7x'y'^2 + b_8x'^2y' \\ Z' &= z' + c_1 + c_2x' + c_3y' + c_4x'y' + c_5x'^2 \\ &\quad + c_6y'^2 + c_7x'y'^2 + c_8x'^2y' \end{aligned}$$

여기에서 X', Y', Z' 는 調整된 모델座標

x', y', z' 는 測定된 모델座標

$a_1 \dots, b_1 \dots, b_8, c_1 \dots, c_8$ 은 計算해야 할 係數이다.

基準點座標가 8點 以上이라면, 이 方程式은 원하는 모델 係數를 이끌어내는 최소제곱법을 適用하므로써 解를 구할 수 있다.

모든 點들에 대한 絶對座標를 얻기 위해서는 다음의 3次元 相似變換이 이루어져야 한다.

$$\begin{bmatrix} X \\ Y \\ Z \end{bmatrix} = S \begin{bmatrix} a_{11} & a_{12} & a_{13} \\ a_{21} & a_{22} & a_{23} \\ a_{31} & a_{32} & a_{33} \end{bmatrix} \begin{bmatrix} X' \\ Y' \\ Z' \end{bmatrix} + \begin{bmatrix} X_0 \\ Y_0 \\ Z_0 \end{bmatrix} \quad (11)$$

여기에서 X, Y, Z 는 絶對座標

X', Y', Z' 는 調整된 모델座標

X_0, Y_0, Z_0 는 变이벡터量

S 는 縮尺

a_{11}, \dots, a_{33} 는 3×3 標定 matrix의 要素이다.

모델에서 3次元 空間座標를 얻은 후, 가장 適切한 平面을 얻기 위해 최소제곱법이 利用되는데, 다음의 一般平面方程式이 觀測方程式으로 利用된다.

$$P_1X + P_2Y + P_3Z = 1$$

여기에서 P_1, P_2, P_3 는 計算되어진 係數

X, Y, Z 는 空間座標이다.

2) 解析的 方法

이 解法은 精密座標測定機로 모든 基準點座標와 標定點座標를 測定한 후 寫眞座標로 變換한다. 다음에 單寫眞 Resection program이 각 露出點의 外部標定要素($\omega, \phi, \kappa, X_0, Y_0, Z_0$)를 計算하는 데 適用된다.

空間 Resection에 대해서는 여러가지 數學的 인 解法이 있으나, 基準點들이 寫眞上の 적은 部分에 偏在되어 있을 때 最適의 解法으로 인정되는 "Cosine"法이 주로 利用된다⁽¹⁵⁾.

마지막 段階는 各 모델點들에 대한 絶對座標를 空間 Intersection program을 利用하여 구한다. 이 絶對座標로부터 平面式의 係數는 半解析的인 方法에서와 같은 方式으로 구한다.

2.2.2. 平面方程式으로부터 傾斜, 走向公式의 誘導

走向은 水平面과 傾斜面에 관한 接觸線의 方位이며, 傾斜는 傾斜面과 水平面에 의한 最大高度角이다.

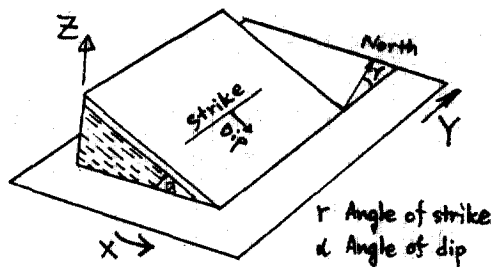


그림 4. Orientation of inclined surface.

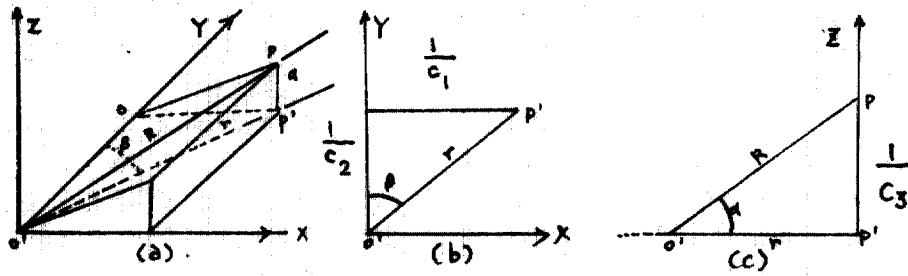


그림 5. 3-dimensional analysis of inclined surface.

平面의 一般式은 다음과 같이 表現된다.

$$AX+BY+CZ+D=0$$

$$\text{또는 } P_1X+P_2Y+P_3Z=1 \quad (12)$$

여기에서 P_1, \dots, P_3 는 係數로서 絶對標定을 거친 基準點座標를 代入하여 最소제곱법으로 구한다.

그림 5. (a)에서 3次元座標(X, Y, Z)를 갖는 P 點을 택하면, 그 때의 벡터 \vec{R} 은 $Z=0$ 인 x, y 平面에 벡터 \vec{r} 로 投影된다.

(12)式에 $Z=0$ 를 代入하면,

$$P_1X+P_2Y=1$$

이 되며 P 點의 x, y 值을 구하기 위해 $x=0, y=0$ 를 代入하면

$$x=0 \text{ 일 때 } y=\frac{1}{P_2}$$

$$y=0 \text{ 일 때 } x=\frac{1}{P_1}$$

이 된다.

따라서 그림 5. (b)에서 走向은

$$\tan \beta = \frac{1/P_1}{1/P_2} = \frac{P_2}{P_1}$$

$$\beta = \tan^{-1}\left(\frac{P_2}{P_1}\right) \quad (13)$$

가 된다.

(13)式은 子午線이 y 축과 일치하다고 假定한 것으로, 實際觀測에서는 y 축의 方位角을 알아야 한다.

다음에는 傾斜角을 구하기 위해 그림 5. (c)에서 3角形 $PO'P'$ 를 考慮하면 z 值은 $\frac{1}{P_3}$ 이므로,

$$\tan(\alpha) = \frac{\frac{1}{P_3}}{|\vec{r}|} - \frac{1}{P_3} \times \frac{P_1 P_2}{(P_1^2 + P_2^2)^{1/2}}$$

따라서

$$\text{傾斜}(\alpha) = \tan^{-1}\left[\frac{P_1 P_2}{P_3} \cdot \frac{(P_1^2 + P_2^2)^{-1/2}}{1}\right] \quad (14)$$

이 成立된다.

3. 結論

本論文은, 傾斜진 面의 傾斜와 走向을 決定하는 데 있어서 寫眞測定技法을 導入하는 理論의 考察로서, 誘導된 公式에는 다음과 같은 特徵이 있다.

1. 3角法에 의한 幾何學的 모델은 判讀과 동시에 視差測定機와 Scale로써 簡單히 傾斜度를 測定할 수 있어, 航空寫眞에 의한 넓은 地域의 判讀時 效果의이다.

2. 平面方程式에 의한 數學的 모델은 標定過程을 거친 3次元座標들을 입력하여 傾斜와 走向을 計算할 수 있으므로, 모든 地形條件에 可能하며 地上寫眞測量의 活用 및 DTM에 效果의으로 利用될 수 있다.

3. 本論文에서 考察된 幾何學的 및 數學的 모델에 의한 傾斜地形의 解析方法은 地質, 土地利用調查 및 路線과 같은 土木計劃은 물론이고 防災工學 및 軍事的인 側面에서도 效用性이 매우 높을 것으로 料된다.

參考文獻

1. Brandow, V.D., Karara, H.M., Damberger, H.H., & Krausse, H.F., "A Non-Metric Close-Range Photogrammetric System for Mapping Geologic Structures in Mines", P.E. & R.S., Vol. 42, No.5, 1976, pp. 637~648.
2. Soliman, A.H., "Accuracy and Application", P.E., Vol. 37, No.8, 1971, pp. 879~884.

3. Ghosh, S.K., *Analytical Photogrammetry*, Pergamon Press, 1979, pp.126~130.
4. Zhalkov, S.I., *Military Topography Manual*, Military Publication No. 5-4947, 1973, pp.98~118.
5. Rogers, B.W., *Terrain Analysis*, Department of the Army, FM 21-33, 1978.
6. Attewell, P.B., & Farmer, I.W., *Principles of Engineering Geology*, Chapman and Hall, 1976, pp.720~813.
7. Ricci, M., "Dip Determinations in Photogeology", *P.E. & R.S.*, Vol. 48, No.3, 1982, pp.407~414.
8. Lattman, L.H., & Ray, R.G., *Aerial Photographs in field Geology*, Holt, Rinehart and Winston, 1965, pp.148~161.
9. Hadjitheodorou, C., "Elevation from Parallax Measurements", *P.E.*, Vol.29, No.1, 1963, pp.840~849.
10. Allum, J.A.E., "Proofs and uses of some formulae for the measurement of height differences and dips on aerial photographs by elementary methods", *Trans. Instn. Min. Metall.*, 78:B, 1969, pp.108~113.
11. A.S.P., *Manual of Photographic Interpretation*, 1960, p. 280.
12. A.S.P., *Manual of Remote Sensing*, Vol.2, 1975, p.1191.
13. Bent, E., "Dip estimation for photogeology", *P.E.*, Vol.35, No.12, 1969, pp.1225~1227.
14. Karara, H.M., *Handbook of Non-Topographic Photogrammetry*, A.S.P., 1979, pp.75~96.
15. Veress, S.A., "Measurement of Structural Deformation of Electric Transmitting Towers", *FIG, International Congress*, Montreux, Switzerland, 1981, pp.604. 1/1-10.
16. Jassem, K.I., & Scherz, J.P., "Terrestrial Photogrammetry as a Tool for Archaeoastronomical Investigation", *ACSM-ASP Fall Convetion*, 1982, pp.221~230.

(接受: 1983.8.23)